

МИНИСТЕРСТВО ОБРАЗОВАНИЯ И НАУКИ РОССИЙСКОЙ ФЕДЕРАЦИИ

ГОСУДАРСТВЕННОЕ ОБРАЗОВАТЕЛЬНОЕ УЧРЕЖДЕНИЕ
ВЫСШЕГО ПРОФЕССИОНАЛЬНОГО ОБРАЗОВАНИЯ
"МОСКОВСКИЙ ФИЗИКО-ТЕХНИЧЕСКИЙ ИНСТИТУТ
(ГОСУДАРСТВЕННЫЙ УНИВЕРСИТЕТ)"

ФАКУЛЬТЕТ ИННОВАЦИЙ И ВЫСОКИХ ТЕХНОЛОГИЙ
КАФЕДРА АНАЛИЗА ДАННЫХ

Выпускная квалификационная работа по направлению
01.03.02 «Прикладные математика и информатика»
НА ТЕМУ:

**НЕЙРОСЕТЕВЫЕ МОДЕЛИ В ЗАДАЧАХ
ИНТЕРПРЕТАЦИИ ДАННЫХ ФМРТ ПРИ
АУДИАЛЬНОЙ СТИМУЛЯЦИИ**

Студент _____ Медведева А.Е.

Научный руководитель к.ф-м.н. _____ Артемов А.В.

Зам. зав. кафедрой д.ф-м.н, профессор _____ Бунина Е.И.

МОСКВА, 2017

Содержание

1	Общая постановка эксперимента	2
1.1	ФМРТ в измерении активности мозга	2
1.2	Дизайн эксперимента	4
2	Обзор литературы	5
2.1	Семантический атлас мозга	5
2.2	Применение нейросетевых методов	6
3	Эксперимент	8
3.1	Описание данных	8
3.2	Препроцессинг данных	8
3.3	Линейные методы	9
3.4	Нейросетевые методы	10

Часть 1

Общая постановка эксперимента

1.1 ФМРТ в измерении активности мозга

Функциональная магнитно-резонансная томография, или ФМРТ, - это метод измерения активности головного мозга. Он работает путем обнаружения изменений насыщения крови кислородом, а также потоков крови, возникающих в ответ на нейронную активность. Когда зона мозга более активна, она потребляет больше кислорода, и чтобы удовлетворить этот растущий спрос, увеличивается приток крови к рабочей области. ФМРТ может быть использована для создания карт активности, показывающих, какие части мозга вовлечены в конкретный психический процесс.

Каждое ФМРТ измерение – последовательность трехмерных сканов мозга, где каждый скан есть набор значений сигнала на каждом маленьком участке мозга, называемым вокселем и представляющим собой параллелепипед с сторонами порядка нескольких миллиметров (см. 1.1).

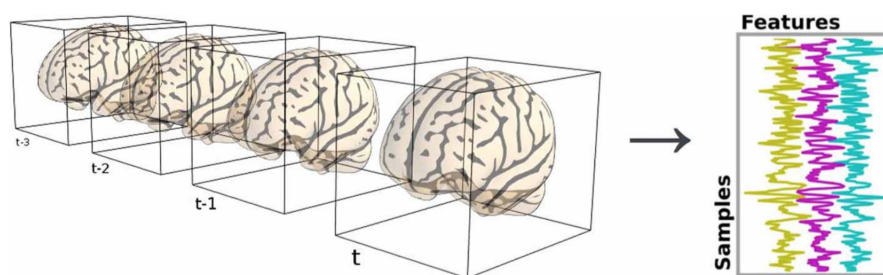


Рис. 1.1: ФМРТ измерение.

ФМРТ имеет несколько преимуществ перед другими методами измерения мозговой активности:

1. Этот метод является неинвазивным и не использует рентгеновское излучение, что делает его безопасным для человека.
2. Имеет хорошую пространственно-временное разрешение. На рисунке 1.2 показано сравнение ФМРТ с другими методами измерения активности мозга, такими как энцефалография (МЭГ, ЭЭГ) и позитронно-эмиссионная томография (ПЭТ).

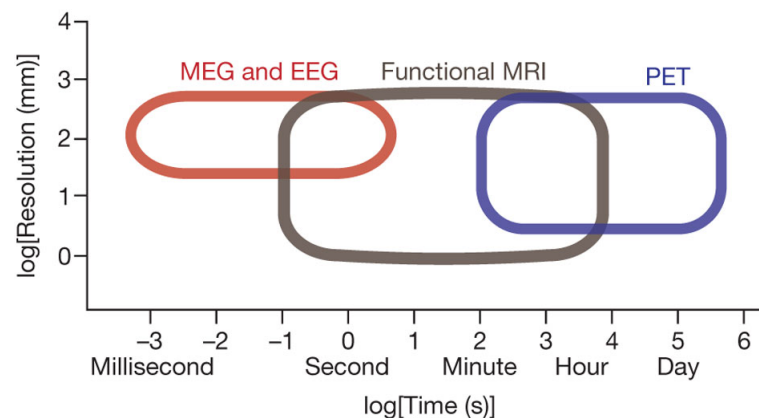


Рис. 1.2: Сравнение ФМРТ, ПЭТ и МЭГ.

3. Его легко использовать для постановки экспериментов.

Из недостатков можно выделить следующие:

1. Для точного измерения необходимо, чтобы человек оставался неподвижным. Движения головы, вызванные биением сердца, дыханием и ерзаньем, являются одним из основных источников шума.
2. Наличие шума, вызванного неоднородностью магнитного поля, используемого для измерения.
3. ФМРТ измеряет уровень активности не напрямую, а косвенно.
4. Уровень насыщения крови, который измеряет ФМРТ, изменяется очень медленно. Его изменение происходит с некоторой задержкой, (обычно порядка пары секунд), так как необходимо некоторое время для сосудистой системы в ответ на потребность мозга в глюкозе. После чего он обычно поднимается до пика примерно через 5 секунд после стимула. Если нейроны остаются активными, пик распространяется на плоское плато. После остановки деятельности, сигнал падает ниже исходного уровня – явление, называемое

недолетом. С течением времени сигнал восстанавливается до базовой линии (см. 1.3).

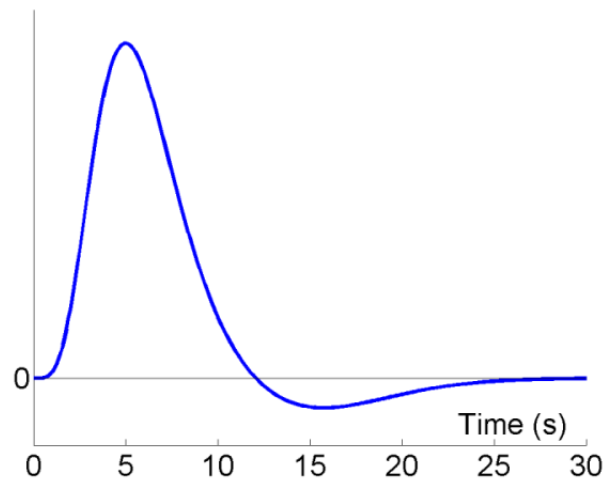


Рис. 1.3: Уровень насыщения крови в зависимости от времени.

1.2 Дизайн эксперимента

В типичном эксперименте с помощью ФМРТ по внешнему стимулу строится матрица признаков \mathbf{X} . Например, при аудиальной стимуляции строки матрицы \mathbf{X} – векторы, соответствующие словам из текста аудио. Измерения ФМРТ – матрица ответов \mathbf{Y} , столбцы которой соответствуют вокселям, строки – вектор активации мозга в конкретный момент времени.

Часть 2

Обзор литературы

2.1 Семантический атлас мозга

Работа [1] группы американский нейробиологов посвящена созданию семантического атласа мозга на основе данных, полученных с помощью ФМРТ. Ученым удалось выделить области на фронтальной коре, ответственные за конкретные семантический группы, такие как социальные явления, абстрактные понятия, количественные слова.

Эксперимент был построен следующим образом: 8 испытуемых слушали 2 часа рассказы из радиопередачи. После чего авторы подсчитали на большом кормпусе матрицу совместной встречаемости каждого слова из текста аудио и 985 самых частоупотребимых английских слов. Каждая строка этой матрицы соответствовала представлению слова из аудио в 985-мерном пространстве. Для установления зависимости между признаками аудиостимула (представления слов из аудио) и измерениями ФМРТ авторы использовали гребневую регрессию. Далее изучались вектора весов регрессии, соответствующей каждому вокселю, для чего они были спроектированы в четырехмерное пространство с помощью метода главные компонент. В это же пространство были спроектированы и слова из аудиостимула. С помощью алгоритма k средних спроецированные слова были сгруппированы в 12 категорий. После чего авторы раскрасили пространство из первых трех главные векторов и визуализировали результат (см. 2.1).

Интересна проекция на первую компоненту: положительные знак имеют слова, относящиеся к человеку и человеческим взаимодействиям, отрицательную – описания восприятия, местоположения, количества. На рис. 2.2 показана средняя

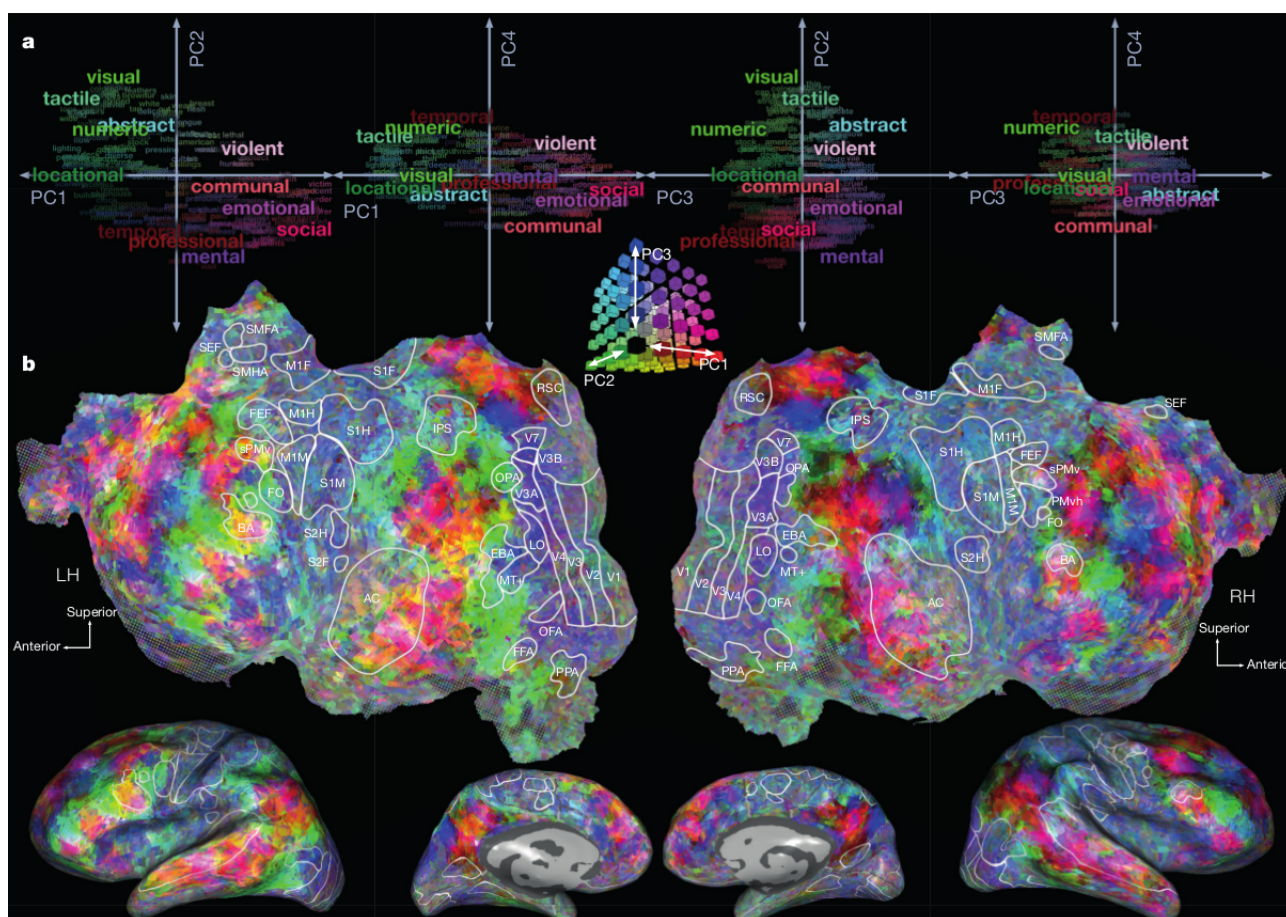


Рис. 2.1: Результаты из работы [1].

корреляция Пирсона в проекции на поверхность долей. Видно, что зоны LTC, VTC, LPC, MPC, SPFC и IPFC предсказываются достаточно хорошо (корреляция значимо больше нуля), ранее эти зоны считались семантической системой мозга.

2.2 Применение нейросетевых методов

В статье [2] изучалась предсказательная способность LSTM юнитов в зависимости от наличия гейтов. В качестве данных авторы использовали активацию мозга в процессе чтения главы из книги "Гарри Поттер". Эксперимент был устроен следующим образом: авторы обучили нейронную сеть предсказывать следующее слово в тексте. Далее с помощью метода наименьших квадратов устанавливалась зависимость между вектором внутреннего состояния нейросети в момент предсказания следующего слова и вектором активации всего мозга перед прочтением этого слова. Несмотря на то, что статья была посвящена изучению LSTM юнитов, авторы получили неплохую предсказательную способность (см. 2.3), максимум нормализованной косинусной метрика около 0.9.

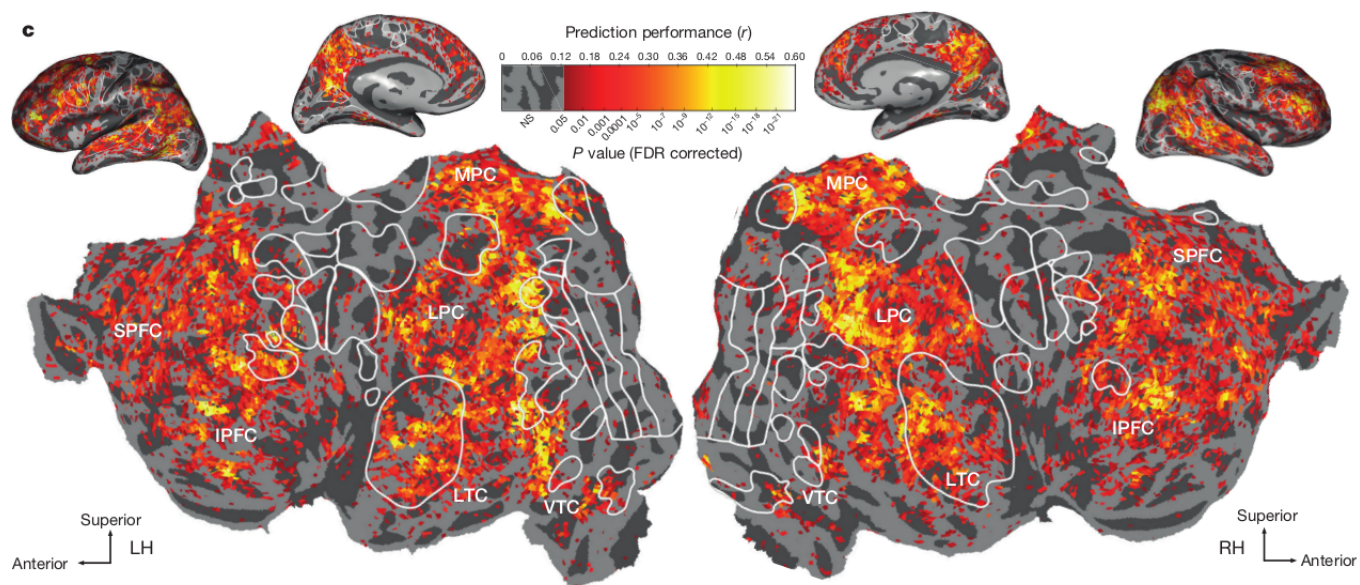


Рис. 2.2: Результаты из работы [1].

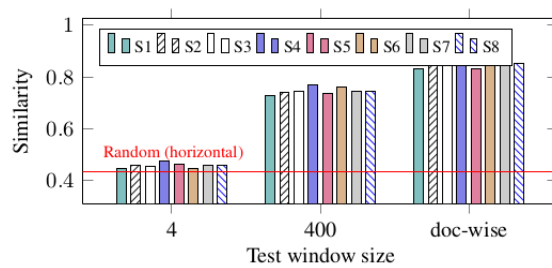


Рис. 2.3: Результаты из работы [2].

Часть 3

Эксперимент

3.1 Описание данных

Данные были взяты с открытой базы данных фМРТ openfmri.org. В ходе эксперимента 20 участников в возрасте от 21 до 38 лет 2 часа (8 сегментов по 15 минут) слушали немецкую версию аудио фильма "Форрест Гамп". При этом фМРТ сканер измерял каждые две секунды мозговую активность с пространственным разрешением 2.75 mm^3 .

3.2 Препроцессинг данных

К данным ФМРТ была применена коррекция движений а также подавление шума с помощью библиотеки FLIRT, далее ФМРТ сигнал был посегментно нормализан, чтобы иметь среднее ноль и дисперсию 1.

Для создания транскрипции использовался инструмент Google Api Speech Recognition. После чего транскрипция была пословесно выровнена с помощью библиотеки aeneas. Далее с помощью предобученной модели word to vec слова из транскрипции были переведены в трехсотмерные вектора из \mathbb{R}^{300} . После чего полученные представления слов интерполировались с ядром Ланшица, чтобы согласовать моменты произношения слов и моменты измерения ФМРТ. Ввиду того что отклик конкретного вокселя происходит с некоторой задержкой, а также ввиду сложной формы сигнала отклика (1.3), для каждого момента измерения стимул, соответствующий этому моменту был сконкатенирован с тремя предыдущими. Таким образом получилось 1200 семантических признаков. Далее из 3600 пар

стимул - измерение первые 3100 использовались для обучения и последние 500 для валидации.

3.3 Линейные методы

Повторяя эксперимент авторов статьи [1], мы использовали повоксельно гребневую регрессию для предсказания ФМРТ отклика.

На рисунке РИСУНОК! показаны результаты корреляции на тесте в зависимости от параметра регулязации альфа гребневой регрессии для 4 человек. На первом графике разница числа вокселей, корреляция которых больше 0.2 и числа вокселей, корреляция которых меньше -0.2, на втором графике – средняя повоксельная корреляция.

Видно, что альфы примерно одного порядка и средняя корреляция значимо больше нуля. На рисунке 3.1 показана гистограмма корреляций вокселей для третьего испытуемого. Видно, что положительных значений больше и среднее значимо отличается от нуля. Критерии согласия Колмогорова для проверки на нормальность показывает p-value равным 0, что означает что данное распределение нельзя считать нормальным. Также критерий Вилконсона для симметричности относительно нуля также дает p-value равным 0.

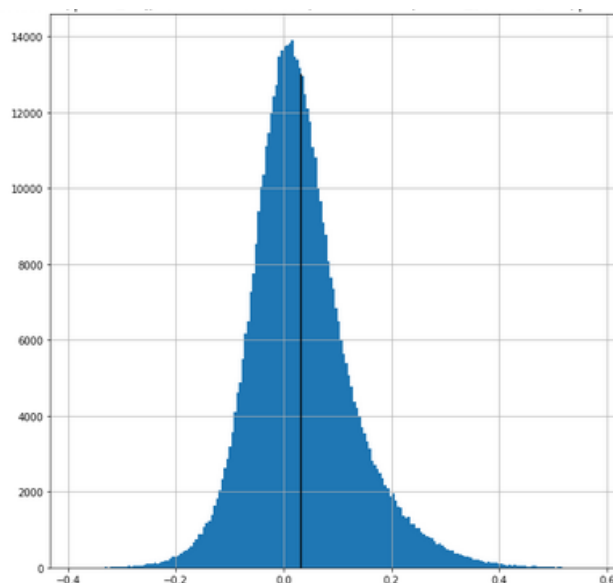


Рис. 3.1: Гистограмма корреляций при $\alpha = 245$.

На рисунке 3.2 показан сигнал ФМРТ и его предсказание. Выведем срезы по оси z .

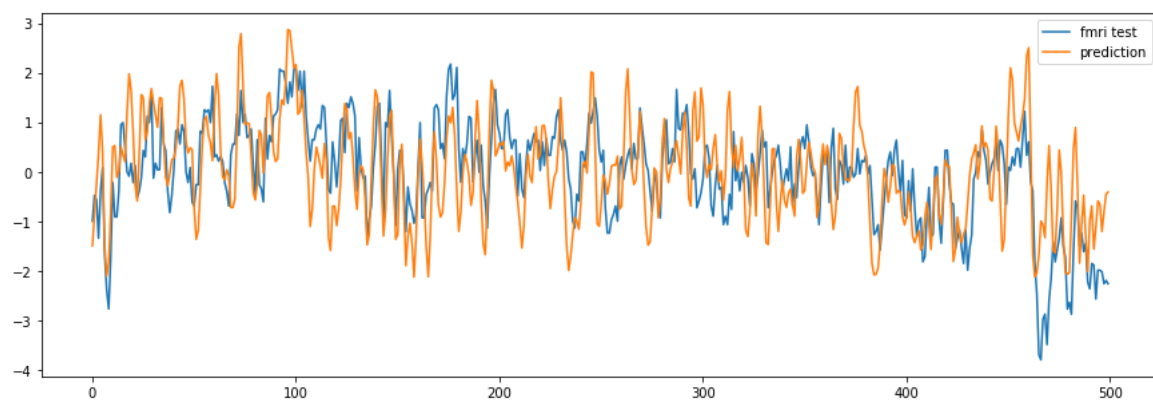


Рис. 3.2: Отклик вокселя и его предсказание.

3.4 Нейросетевые методы

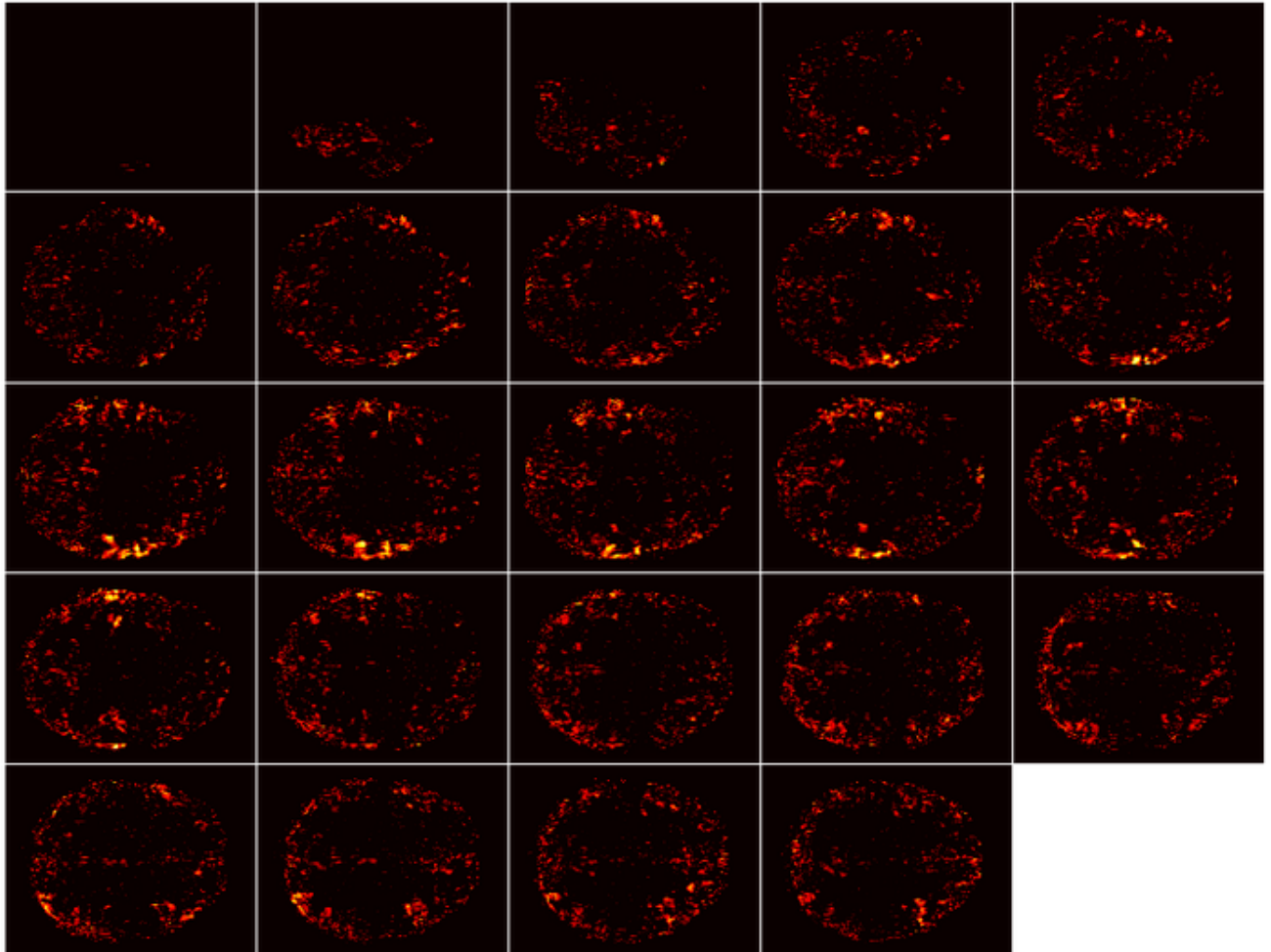


Рис. 3.3: Значимые результаты предсказания (корреляция > 0.1) для 12-ого субъекта.

Литература

- [1] Alexander G Huth, Wendy A de Heer, Thomas L Griffiths, Frédéric E Theunissen, and Jack L Gallant. Natural speech reveals the semantic maps that tile human cerebral cortex. *Nature*, 532(7600):453–458, 2016.
- [2] Peng Qian, Xipeng Qiu, and Xuanjing Huang. Bridging lstm architecture and the neural dynamics during reading. *arXiv preprint arXiv:1604.06635*, 2016.